

Darstellung, Struktur und Komplexierung von 2,2',5,5'-Tetrahydro-1,1'-bi(1*H*-1,2,5-phosphadiborol)-Derivaten

Matthias Drieß, Pascal Frankhauser, Hans Pritzkow und Walter Siebert*

Anorganisch-Chemisches Institut der Universität Heidelberg,
Im Neuenheimer Feld 270, D-6900 Heidelberg

Eingegangen am 11. Dezember 1990

Key Words: 1*H*-1,2,5-Phosphadiboroles, dihydro- / 1,1'-Bi(1*H*-1,2,5-phosphadiborole) / Chromium complexes / Iron complexes

Synthesis, Structure, and Complexation of 2,2',5,5'-Tetrahydro-1,1'-bi(1*H*-1,2,5-phosphadiborole) Derivatives

Reactions of (Z)-1,2-diborylethenes $[\text{HC}-\text{B}(\text{Cl})\text{R}]_2$ with LiPH_2 and $\text{LiP}(\text{SiMe}_3)_2$ lead to the 2,5-dihydro-1*H*-1,2,5-phosphadiboroles **1a–d** in good yields. **1a, b** react with $(\text{Me}_3\text{C})_2\text{Hg}$ to give yellow **2a** (56%) and **2b** (90%), which are also obtained from **1c, d** and TiCl or C_2Cl_6 , respectively. The constitution of **2b** is established by an X-ray structure analysis. **2a** reacts

with $\text{Cr}(\text{CO})_3(\text{CH}_3\text{CN})_3$ to yield the bis(pentacarbonyl)chromium complex **4a**, whereas **2b** and $\text{Fe}(\text{CO})_3(\text{C}_8\text{H}_{14})_2$ form the bis(tricarbonyliron) complex **5b**. Spectroscopic studies and X-ray structure analyses of **4a** and **5b** show that in **4a** the chromium atom is η^1 -bound to phosphorus, whereas in **5b** the iron interacts with all atoms of the folded $\text{C}_2\text{B}_2\text{P}$ ring.

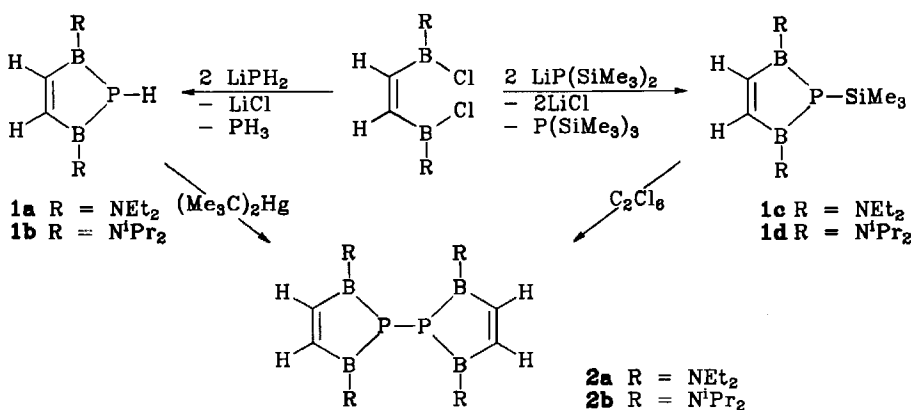
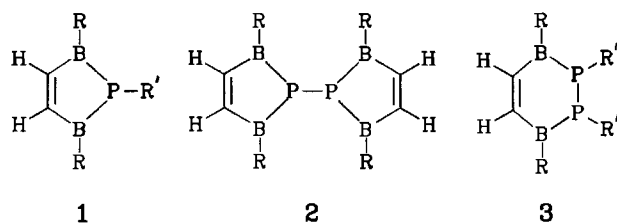
Frühere Untersuchungen haben gezeigt, daß Bor-funktionalisierte (Z)-1,2-Diborylethene zum Aufbau neuartiger Bor-Heterocyclen geeignet sind^{1,2)}. Fünf- und sechsgliedrige $\text{C}_2\text{B}_2\text{X}_n$ -Ringgerüste ($n = 1, 2$) mit $\text{X} = \text{Schwefel, Stickstoff und Phosphor}$ repräsentieren vielseitige π -Komplexliganden in der Übergangsmetallchemie, die über Olefin- und Heteroatom-Donor- sowie Bor-Akzeptor-Funktionen verfügen²⁾. Von Derivaten der phosphorhaltigen Heterocyclen 2,5-Dihydro-1*H*-1,2,5-phosphadiborol **1**³⁾ und 1,2,3,6-Tetrahydro-1,2,3,6-diphosphadiborin **3**⁴⁾ mit dem $\text{C}_2\text{B}_2\text{P}$ - bzw. $\text{C}_2\text{B}_2\text{P}_2$ -Ringgerüst sind Metallkomplexe bekannt.

Die Darstellung der 2,5-Dihydro-1*H*-1,2,5-phosphadiborol-Derivate **1a–d** mit Trimethylsilyl- bzw. Wasserstoff-Substituenten am Phosphoratom haben den Zugang zum Ligandensystem **2** ermöglicht, in dem zwei $\text{C}_2\text{B}_2\text{P}$ -Fünfringe über eine Phosphor-Phosphor-Bindung miteinander verknüpft sind. Nachfolgend beschreiben wir die Synthesen von **1a–d** und **2a, b** sowie die Komplexierung von **2a, b** mit Carbonylchrom- und Carbonyleisen-Fragmenten.

Darstellung und Kopplung der 2,5-Dihydro-1*H*-1,2,5-phosphadiborole **1a–d** zu **2a, b**

Durch Umsetzung von (Z)-Diboryletherderivaten $[\text{HC}-\text{B}(\text{Cl})\text{R}]_2$ mit $\text{LiPH}_2 \cdot \text{DME}$ bzw. $\text{LiP}(\text{SiMe}_3)_2 \cdot \text{THF}$ im Verhältnis 1:2 entstehen die luftempfindlichen 1,2,5-Phosphadiborole **1a–d** in guten Ausbeuten. Die Synthese der P–P-gekoppelten $[\text{C}_2\text{B}_2\text{P}]_2$ -Verbindungen **2a, b** gelingt ausgehend von den Derivaten **1a–d**^{3b)}, die mit $(\text{Me}_3\text{C})_2\text{Hg}$, C_2Cl_6 und TiCl nach bekannten Methoden zur Knüpfung von Phosphor-Phosphor-Bindungen^{5a,b)} zu **2a, b** reagieren.

Als effiziente Methoden zur Herstellung von **2a, b** hat sich die Umsetzung von **1a, b** mit Di-*tert*-butylquecksilber



im Molverhältnis 2:1 erwiesen. Die Komponenten bilden in wenig Toluol unter Wärmeentwicklung und Isobutanbildung dunkelbraune Suspensionen, aus denen nach mehrstündigem Erhitzen unter Hg-Abscheidung **2a**, **b** erhalten werden. Die Verbindung **2a** löst sich sehr gut in aromatischen und aliphatischen Solventien, **2b** kristallisiert als gelbe Schuppen aus wenig Toluol (> 90% Ausb.). **2a** ist ein hellgelbes, viskoses Öl, das destilliert wird (56% Ausb.).

Die Darstellung von **2a**, **b** über die Silylverbindungen **1c**, **1d** ergibt geringere Ausbeuten. Die Umsetzung von Hexachlorethan mit Trimethylsilylphosphanen ist nach Appel et al.⁵⁾ eine gängige Methode, um zu P–Cl- oder P–P-verknüpften Organophosphanen zu gelangen. Bei analoger Vorgehensweise entsteht aus **1c** und C₂Cl₆ (Molverhältnis 2:1) bei ca. –50°C in Pentan/CH₂Cl₂ (1:1) ein Produktgemisch, aus dem durch destillative Aufarbeitung **2a** mit 22% Ausbeute isoliert wird. Erfolgt die Reaktion zwischen **1c** und C₂Cl₆ bei 0°C, so verringert sich die Ausbeute an **2a** beträchtlich infolge Ringspaltung. Die Umsetzung von **1d** mit C₂Cl₆ führt zu analogen Resultaten wie bei **1c**. Die Reaktion von **1c** mit TiCl₄ erfordert drastische Reaktionsbedingungen (ca. 160°C/12 h) und liefert **2a** mit 51% Ausbeute.

NMR-Spektren und massenspektrometrische Untersuchungen von **2a,b**

¹H-NMR-Spektren: Wegen der gehinderten Rotation um die BN-Bindung (BN- π -Population) finden sich paarweise anisochrone Ethyl- (**2a**) bzw. Isopropylprotonen-Sorten (**2b**) der Aminogruppen. Dieses Phänomen wird auch bei anderen Amino-Bor-substituierten 1H-1,2,5-Phosphadiborolen gefunden³⁾. Weitere Merkmale sind das Auftreten von ¹H, ³¹P-Fernkopplungen. Die Ring-CH-Protonen von **2a**, **b** sind chemisch und magnetisch äquivalent, so daß diese mit den unterschiedlich entfernten ³¹P-Kernen (X,X') ein Triplettsignal vom Spinsystem [A₂X]₂ ergeben. Dieselben Verhältnisse werden für die (E)-Methinprotonen der Diisopropylaminogruppen (bezüglich der BN- π -Bindung) von **2b** beobachtet, deren Signal als Triplett eines Septetts erscheint. Für die (Z)-Methinprotonen-Sorten konnte eine ³¹P, ¹H-Kopplung nicht beobachtet werden.

¹³C-NMR-Spektren: Die ¹H-breitbandenkoppelten Spektren von **2a**, **b** zeigen ebenfalls Kopplungen. Entsprechend werden für die (E)-¹³C-Sorten der Aminogruppen (Resonanzsignal bei tieferem Feld³⁾) Tripletsignale beobachtet. Die anderen ¹³C-Kerne [(Z)-¹³C-Sorten] treten als Singuletsignale in den Spektren auf. Für die am Bor gebundenen ¹³C-Kerne werden relaxationsverbreiterte Signale im erwarteten Bereich für sp²-hybridisierte ¹³C-Atome gefunden.

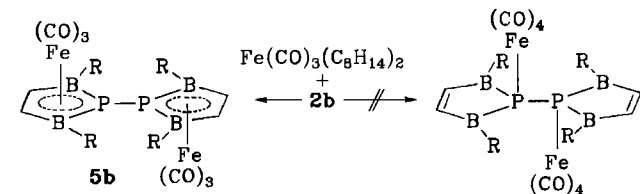
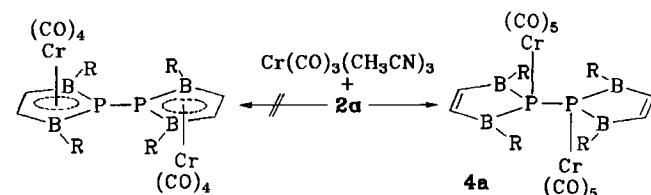
¹¹B- und ³¹P-NMR-Spektren: Die $\delta^{11}\text{B}$ -Werte für **2a** (46.5) und **2b** (49.9) liegen im erwarteten Bereich für C₂B₂P-Dervative³⁾. In den ³¹P{¹H}-entkoppelten NMR-Spektren finden sich ¹¹B-relaxationsverbreiterte Singulets (**2a**: $\delta = -202.5$; **2b**: –195.7), deren chemische Verschiebungen im Vergleich zu den entsprechenden P-H- bzw. P-SiMe₃-substituierten Verbindungen **1a–d** nach wie vor relativ starke Hochfeldlage besitzen.

M. Drieß, P. Frankhauser, H. Pritzkow, W. Siebert

Massenspektren: Das EI-Massenspektrum von **2a** zeigt den Molekülpeak bei $m/z = 446$ mit 35% relativer Intensität und korrekte Isotopenverteilung. Als wesentliche Fragmentierung von [M]⁺ wird [M/2]⁺, d. h. ein C₂B₂P-Fünfringfragment gefunden ($m/z = 223$, 35%). Weitere Fragmentierungen sind Methylabspaltungen aus [M/2]⁺. Im EI-Massenspektrum von **2b** war der Molekülpeak nicht zu beobachten. Im DCI-Verfahren mit CH₄ jedoch trat der Molekülpeak bei $m/z = 558$ in 11% relativer Intensität auf. Bei $m/z = 280$ ist das erwartete Fragment-Ion [M/2+1]⁺ ($I_{\text{rel.}} = 32\%$) nachzuweisen. Der Basispeak im Spektrum wird vom Ion C₃H₇⁺ verursacht.

Komplexierung von **2a** mit (CO)₃Cr(CH₃CN)₃ und **2b** mit (CO)₃Fe(C₈H₁₄)₂

Der Heterocyclentyp **2** weist zwei potentielle 4- π -Elektronensysteme auf, die über eine P–P-Bindung miteinander verknüpft sind. Um das Komplexierungsvermögen zu testen, wurde **2a** mit Cr(CO)₃(CH₃CN)₃ (Molverhältnis 1:2.2) und **2b** mit (CO)₃Fe(C₈H₁₄)₂ (C₈H₁₄ = Cycloocten) umgesetzt. Im Falle der Reaktion mit Cr(CO)₃(CH₃CN)₃ entsteht hierbei nicht der „doppelte“ Cr(CO)₄-Halbsandwichkomplex, sondern der Bis-Cr(CO)₅-Komplex **4a**.



4a wird durch mehrfaches Umkristallisieren als orangefarbene Plättchen analysenrein erhalten (19% Ausb.). Der Komplex ist in Lösung und als Feststoff lichtempfindlich. Versuche, **4a** durch Erhitzen und UV-Bestrahlung umzuwandeln, führten nur zu Zersetzungprodukten. Dagegen gelingt die Bildung eines „doppelten“ Halbsandwich-Komplexes **5b** durch Umsetzung von **2b** mit Tricarbonylbis(cycloocten)eisen. Die Konstitution der Komplexe **4a** und **5b** ist durch NMR- und IR-Spektren gesichert. Im ¹H-NMR-Spektrum wird für **4a** dasselbe Signalmuster wie für **2a** beobachtet, während bei **5b** durch das Fe(CO)₃-Fragment die beiden Doublets in **2b** (je 24H) zwei Doublets (je 6H) und zwei breite Signale (24H und 12H) ergeben. Das Signal der vier Olefinprotonen in **2b** ($\delta = 7.40$, t) wird stark zu hohem Feld verschoben und bildet mit den Methinprotonen der Diisopropylaminogruppen einen Multiplettbereich. Im ¹³C-NMR-Spektrum werden bei **4a** die Ringkohlenstoffatome im Vergleich zu **2a** nicht beeinflußt, während bei **5b** die Hochfeldverschiebung von 94 ppm eindeutig die

Beteiligung der Doppelbindung an der Komplexierung signalisiert. Das ^{11}B -NMR-Signal in **2a** erfährt durch die Komplexierung des Phosphors mit dem $\text{Cr}(\text{CO})_5$ -Fragment keine Beeinflussung. Dagegen wird in **2b** durch Komplexbildung mit dem $\text{Fe}(\text{CO})_3$ -Fragment eine Hochfeldverschiebung des ^{11}B -Signals von 19 ppm bewirkt, die damit auf eine pentahapto-Anordnung $[\text{Fe}(\eta^5\text{-C}_2\text{B}_2\text{P})]$ hinweist. In den Komplexen **4a** und **5b** erfährt das ^{31}P -NMR-Signal von **2a**, **b** eine Verschiebung um $\Delta\delta = 43$ bzw. 84 ppm.

Kristallstrukturanalysen von **2b**, **4a** und **5b**

2b: Durch langsames Abkühlen einer 90°C warmen Lösung von **2b** in Toluol auf 25°C konnten Kristalle für eine Kristallstrukturanalyse erhalten werden. Wie im Falle anderer $\text{C}_2\text{B}_2\text{P}$ -Derivate³⁾ liegen in **2b** nicht-planar koordinierte $\lambda^3\text{P}$ -Atome vor. Die $\text{C}_2\text{B}_2\text{P}$ -Fünfringe sind nicht eben, der Winkel zwischen den Ebenen $\text{B}_1-\text{P}_2-\text{B}_3$ und $\text{B}_1-\text{C}_5-\text{C}_4-\text{B}_3$ beträgt 11.6°, bei 2,5-Bis(diisopropylamino)-1-phenyl-1*H*-1,2,5-phosphadiborol³⁾ hingegen 17°. Das Molekül besitzt eine kristallographisch bedingte zweizählige Drehachse. Die beiden $\text{C}_2\text{B}_2\text{P}$ -Fünfringe sind zueinander verdrillt (Torsionswinkel: $\text{B}_1-\text{P}_2-\text{P}_2'-\text{B}_1'$ 6.6°, $\text{B}_3-\text{P}_2-\text{P}_2'-\text{B}_3'$ 167.0°). Die Boratome sind erwartungsgemäß trigonal planar koordiniert mit kurzem BN-Bindungsabstand (Tab. 2).

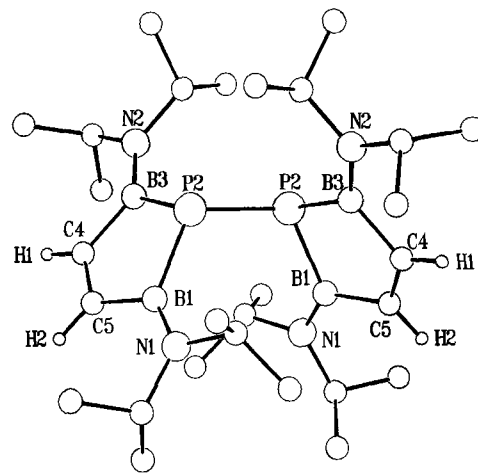


Abb. 1. Kristallstruktur von **2b**

Der P–P-Bindungsabstand (2.192 Å) ist kürzer als in Diphasphanen üblich (2.21 – 2.24 Å)⁶⁾. In einem $\text{C}_2\text{B}_2\text{P}_2$ -Derivat vom Typ **3** beträgt der P–P-Abstand 2.187 Å⁴⁾. Die B–P-Bindungslängen von 1.935 und 1.933 Å weichen nur unwesentlich von B–P-Einfachbindungsängen (1.95 – 1.98 Å)⁷⁾ ab. In 2,5-Bis(diisopropylamino)-1-phenyl-1*H*-1,2,5-phosphadiborol beträgt der B–P-Abstand 1.949 Å^{3a)}.

4a: Die beiden $\text{C}_2\text{B}_2\text{P}$ -Fünfringe mit den $\text{Cr}(\text{CO})_5$ -Gruppen am Phosphor sind bezüglich der P–P-Bindung um ca. 90° gegeneinander verdreht. Die Cr-Atome weisen oktaedrische Koordination auf. Die $\text{C}_2\text{B}_2\text{P}$ -Ringe sind nicht eben, der Winkel zwischen den Ebenen $\text{B}_1-\text{P}_1-\text{B}_2$ und $\text{B}_1-\text{C}_1-\text{C}_2-\text{B}_2$ beträgt 11 bzw. 12°.

Tab. 1. Atomparameter für **2b**. \bar{U} ist definiert als 1/3 der Spur des orthogonalisierten Tensors U

Atom	x	y	z	\bar{U}
B1	0.6187(3)	0.3392(2)	0.89151(16)	0.038
P2	0.56351(6)	0.30309(4)	0.80682(3)	0.033
B3	0.4757(3)	0.4089(2)	0.79635(15)	0.037
C4	0.5154(3)	0.47046(19)	0.85247(15)	0.042
C5	0.5850(3)	0.43695(19)	0.89849(15)	0.044
N1	0.3997(2)	0.42771(14)	0.74540(11)	0.043
C11	0.3797(3)	0.3647(2)	0.69234(16)	0.057
C12	0.2531(4)	0.3351(3)	0.6881(2)	0.085
C13	0.4251(4)	0.3981(3)	0.62782(16)	0.093
C14	0.3328(3)	0.5099(2)	0.73858(17)	0.054
C15	0.2488(3)	0.5222(2)	0.79499(17)	0.069
C16	0.4098(3)	0.5881(2)	0.7278(2)	0.081
N2	0.6876(2)	0.29008(14)	0.93357(11)	0.042
C21	0.7187(3)	0.1996(2)	0.91837(16)	0.048
C22	0.8482(3)	0.1906(3)	0.9024(2)	0.079
C23	0.6813(4)	0.1366(2)	0.97090(18)	0.072
C24	0.7416(3)	0.3236(2)	0.99452(17)	0.059
C25	0.8292(3)	0.3953(2)	0.9817(2)	0.082
C26	0.6496(4)	0.3483(3)	1.04429(16)	0.082

Tab. 2. Abstände [Å] und Winkel [°] für **2b**

B1-P2 1.935(3)	P2-P2' 2.192(1)	B3-N1 1.391(4)
B1-C5 1.567(4)	P2-B3 1.933(3)	C4-C5 1.341(4)
B1-N2 1.395(4)	B3-C4 1.564(4)	
C5-B1-P2 106.4(2)	B3-P2-P2' 107.0(2)	N1-B3-C4 127.6(2)
N2-B1-P2 125.8(2)	B3-P2-B1 91.4(1)	C5-C4-B3 117.2(2)
N2-B1-C5 127.4(2)	C4-B3-P2 106.5(2)	
B1-P2-P2' 115.6(2)	N1-B3-P2 125.7(2)	

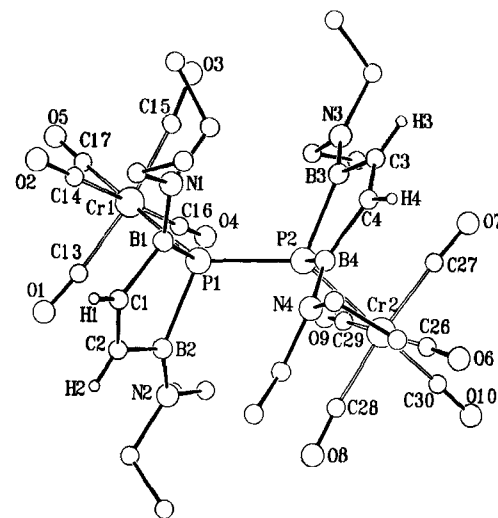


Abb. 2. Kristallstruktur von **4a**

Der P–P-Abstand (2.26 Å) zeigt die übliche Größenordnung in Diphasphan-Komplexen, die wenig abhängig von den Substituenten am Phosphor um den Mittelwert von 2.22 Å liegt⁸⁾. Bemerkenswert sind die signifikanten Unterschiede der Cr–CO-Bindungsabstände der zum Phosphor cis- und trans-ständigen CO-Gruppen.

5b: Wie in **4a** sind die nicht-ebenen $\text{C}_2\text{B}_2\text{P}$ -Ringe bezüglich der beiden Ebenen $\text{B}_1-\text{P}_2-\text{B}_3$ und $\text{B}_1'-\text{P}_2'-\text{B}_3'$ ca. 95° gegeneinander verdreht. Jedoch sind die Fünfringe wegen der zusätzlichen Koordination der Olefin-Einheit zum Eisen stärker gefaltet als in **4a**. Die Faltung in **5b** ist mit

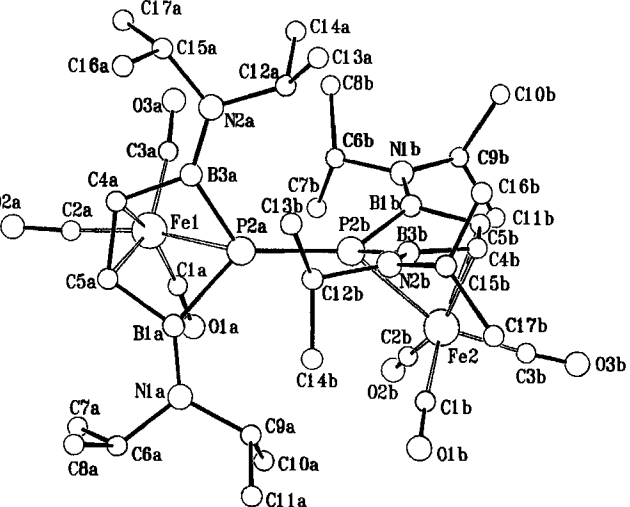
Tab. 3. Atomparameter für **4a**. \bar{U} siehe Tab. 1

Atom	x	y	z	\bar{U}
Cr1	1.13941(6)	0.14486(3)	0.34199(4)	0.053
P1	0.93579(9)	0.08934(5)	0.29328(6)	0.044
B1	0.9755(5)	-0.0004(2)	0.2960(3)	0.053
B2	0.8517(5)	0.0800(3)	0.3803(3)	0.057
C1	0.9411(5)	-0.0253(3)	0.3697(3)	0.073
C2	0.8850(5)	0.0130(3)	0.4099(3)	0.072
N1	1.0334(3)	-0.03357(17)	0.2472(2)	0.061
N2	0.7926(3)	0.12528(18)	0.41479(19)	0.061
C5	1.0645(7)	-0.1014(2)	0.2597(4)	0.091
C6	1.0032(8)	-0.1414(3)	0.1984(4)	0.135
C7	1.0738(4)	-0.0073(2)	0.1818(3)	0.069
C8	1.2107(5)	-0.0154(3)	0.1775(4)	0.109
C9	0.7504(6)	0.1120(3)	0.4865(3)	0.093
C10	0.6188(7)	0.0919(4)	0.4766(4)	0.154
C11	0.7692(5)	0.1889(2)	0.3876(3)	0.072
C12	0.8302(6)	0.2408(3)	0.4368(3)	0.092
C13	1.1054(4)	0.1440(2)	0.4403(3)	0.063
O1	1.0961(4)	0.14304(18)	0.50123(19)	0.092
C14	1.2220(5)	0.0684(3)	0.3666(3)	0.075
O2	1.2784(4)	0.02392(19)	0.3847(2)	0.112
C15	1.1963(4)	0.1406(2)	0.2505(3)	0.058
O3	1.2424(3)	0.13694(18)	0.19912(19)	0.083
C16	1.0680(5)	0.2258(3)	0.3232(3)	0.065
O4	1.0344(4)	0.27616(17)	0.3129(2)	0.099
C17	0.2867(5)	0.1860(2)	0.3784(3)	0.072
O5	0.3789(3)	0.2125(2)	0.4000(2)	0.104
Cr2	0.60598(6)	0.17393(3)	0.16373(4)	0.048
P2	0.79650(9)	0.10451(5)	0.18756(5)	0.041
B3	0.8811(4)	0.1178(2)	0.1023(3)	0.049
B4	0.7391(4)	0.0208(2)	0.1488(3)	0.050
C3	0.8335(5)	0.0643(3)	0.0469(3)	0.065
C4	0.7674(5)	0.0186(2)	0.0692(3)	0.063
N3	0.9530(3)	0.16807(16)	0.08717(18)	0.053
C18	1.0028(5)	0.1715(3)	0.0167(3)	0.075
C19	1.1201(5)	0.1342(3)	0.0185(3)	0.105
C20	0.9878(5)	0.2214(2)	0.1361(3)	0.067
C21	0.9367(6)	0.2840(2)	0.1052(3)	0.090
N4	0.6747(3)	-0.02304(16)	0.1817(2)	0.057
C22	0.6275(8)	-0.0128(3)	0.2504(4)	0.103
C23	0.5901(10)	-0.0551(4)	0.2917(5)	0.275
C24	0.6349(5)	-0.0826(2)	0.1426(3)	0.072
C25	0.5005(5)	-0.0812(3)	0.1028(3)	0.093
C26	0.5048(4)	0.1101(2)	0.1125(2)	0.055
O6	0.4352(3)	0.07524(16)	0.08043(19)	0.081
C27	0.6447(4)	0.1971(2)	0.0702(3)	0.057
O7	0.6582(3)	0.20994(17)	0.01162(18)	0.078
C28	0.5495(4)	0.1448(2)	0.2499(3)	0.059
O8	0.5065(3)	0.12608(19)	0.29779(19)	0.086
C29	0.6968(4)	0.2438(2)	0.2104(3)	0.060
O9	0.7445(4)	0.28765(16)	0.2364(2)	0.093
C30	0.4673(5)	0.2253(2)	0.1454(3)	0.066
O10	0.3805(3)	0.25754(17)	0.1348(2)	0.095

Tab. 4. Abstände [Å] und Winkel [°] für **4a**

Cr1-C13	1.906(5)	P1 -P2	2.264(1)	C27-O7	1.144(6)
Cr1-C14	1.880(5)	B1 -C1	1.559(8)	C28-O8	1.137(6)
Cr1-C15	1.891(5)	B1 -N1	1.378(7)	C29-O9	1.135(6)
Cr1-C16	1.902(5)	B2 -C2	1.554(8)	C30-O10	1.154(6)
Cr1-C17	1.840(5)	B2 -N2	1.374(7)	P2 -B3	1.968(5)
Cr1-P1	2.524(1)	C1 -C2	1.319(8)	P2 -B4	1.985(5)
C13-O1	1.141(6)	Cr2-C26	1.894(4)	B3 -C3	1.558(7)
C14-O2	1.148(7)	Cr2-C27	1.905(5)	B3 -N3	1.383(6)
C15-O3	1.145(6)	Cr2-C28	1.900(5)	B4 -C4	1.546(7)
C16-O4	1.142(6)	Cr2-C29	1.907(5)	B4 -N4	1.371(6)
C17-O5	1.155(6)	Cr2-C30	1.842(5)	C3 -C4	1.319(7)
P1 -B1	1.965(5)	Cr2-P2	2.515(1)		
P1 -B2	1.983(6)	C26-O6	1.146(5)		
B2-P1-B1	90.6(2)	C2-C1-B1	118.5(5)	C3-B3-P2	105.6(3)
P2-P1-B1	105.8(1)	C1-C2-B2	118.5(5)	C4-B4-P2	105.4(3)
P2-P1-B2	112.1(1)	B3-P2-P1	111.8(1)	C4-C3-B3	118.4(4)
C1-B1-P1	105.8(3)	B4-P2-P1	107.3(1)	C3-C4-B4	118.6(4)
C2-B2-P1	105.3(3)	B4-P2-B3	90.3(2)		

26° geringer als im analogen Einkernkomplex $(CO)_3Fe[(HC_2)(BNiPr_2)_2PPh]$ (29.6°). Der P–P-Bindungsabstand beträgt 2.16 Å und ist damit ca. 0.1 Å kürzer als in **4a** sowie um ca. 0.03 Å kleiner als im freien Liganden **2b**.

Abb. 3. Kristallstruktur von **5b**

Aufgrund der ähnlichen Faltung der C_2B_2P -Fünfringe wie im Eisenkomplex $(CO)_3Fe[(HC_2)(BNiPr_2)_2PPh]$ ist ein Übergang von η^5 - in Richtung auf η^3 -Komplexbildung des C_2B_2P -Liganden an das $Fe(CO)_3$ -Fragment zu verzeichnen. Der Fe–B-Abstand in **5b** liegt jedoch noch im Rahmen einer schwach bindenden Wechselwirkung zwischen Eisen und Bor, was auch durch die ^{11}B -NMR-Verschiebung signalisiert wird. Die Boratome zeigen im Vergleich zu den Ringkohlenstoffatomen und dem Phosphoratom deutlich vom Eisenatom weg. Aminosubstituenten am Bor setzen den Akzeptorcharakter des Boratoms herab, der für die Stärke der bindenden Metall-Bor-Wechselwirkung in Metallkomplexen mit bororganischen Liganden ausschlaggebend ist. Der verminderte Akzeptorcharakter der Boratome in **2a** und **2b** ist vermutlich dafür verantwortlich, daß bei der Verwendung von Chromcarbonyl-Fragmenten zur Komplexbildung keine höhere Haptizität der Liganden an Chrom gefunden wird.

Wir danken der Deutschen Forschungsgemeinschaft (SFB 247), dem Land Baden-Württemberg, dem Fonds der Chemischen Industrie, der BASF AG und der Degussa AG für die Förderung dieser Arbeit.

Experimenteller Teil

NMR: Bruker AC-200 (1H , ^{13}C), Jeol FX-90 (^{11}B , ^{31}P); Standards: TMS (extern), Et_2O – BF_3 (ext.), 85proz. H_3PO_4 (ext.). — **IR:** Perkin-Elmer 710B. — **MS:** Varian MAT CH7, 70 eV. — Alle Untersuchungen wurden unter Ausschluß von Feuchtigkeit und Luft durchgeführt (N_2 als Inertgas). — Schmelzpunkte: unkorrigiert. — **PE** = Petrolether.

2,5-Bis(diethylamino)-2,5-dihydro-1H-1,2,5-phosphadiborol (1a): Zu einer Lösung von 4.90 g (37.7 mmol) $LiPH_2 \cdot DME$ in 50 ml Petrolether (60/75 °C) werden bei –30 °C langsam unter Rühren 4.95 g (18.8 mmol) $[HCB(Cl)NEt_2]_2$ in 10 ml PE (60/75 °C) getropft. Man erwärmt auf 0 °C, wobei eine mäßige PH_3 -Entwicklung eintritt. Es wird noch 1 h bei 20 °C gerührt, dann das $LiCl$ abfiltriert, das Lösungsmittel i. Vak. entfernt und farbloses **1a** bei 65 °C/10^{–3} Torr destilliert: 3.13 g (14 mmol, 74%). — **1H -NMR** (90 MHz, C_6D_6): δ = 2.24 (d, 1, J_{PH} = 202.8 Hz), 1.41 (t, 6, J_{HH} = 7.8 Hz), 1.61 (t, 6, J_{HH} = 7.8 Hz), 3.53 (m, 8), 7.36 (br, d, 2, J_{HP} = 3.6 Hz). — **^{13}C -NMR** (50 MHz, C_6D_6): δ = 159 (br, BC), 50.5 (d, NCH,

2,2',5,5'-Tetrahydro-1,1'-bi(1H-1,2,5-phosphadiborol)-Derivate

$^3J_{CP} = 3.7$ Hz), 47.91 (s, NCH), 35.66 (s, NCCH₃), 23.10 (s, NCCH₃). — $^{11}\text{B-NMR}$ $\delta = 47.2$ ($b_{1/2} = 211$ Hz). — $^{31}\text{P-NMR}$ $\delta = -230.4$ (d, $J_{PH} = 202.8$ Hz). — MS-EI: m/z (%) = 224 (68) [M⁺], 195 (23) [M⁺ - Et], 59 (100).

2,5-Bis(diisopropylamino)-2,5-dihydro-1H-1,2,5-phosphadiborol (1b): In 150 ml PE (60/75°C) werden bei -10°C 10.5 g (32.9 mmol) [HCB(Cl)NiPr₂]₂ und 8.55 g (65.8 mmol) LiPH₂ · DME gerührt. Die Mischung wird langsam auf +10°C erwärmt. Nach 1 h ist die

Tab. 5. Atomparameter für **5b**. \bar{U} siehe Tab. 1

Atom	x	y	z	\bar{U}	Atom	x	y	z	\bar{U}
Fe1	0.45691(18)	0.46758(19)	0.08060(13)	0.048	Fe4	0.09833(18)	0.6079(2)	0.21716(14)	0.057
C1a	0.4004(14)	0.4475(13)	0.0324(10)	0.072	C1d	0.1221(14)	0.6830(16)	0.1995(10)	0.078
O1a	0.3597(10)	0.4384(10)	-0.0026(7)	0.097	O1d	0.1374(9)	0.7315(10)	0.1904(6)	0.091
C2a	0.4820(17)	0.5315(18)	0.0587(11)	0.110	C2d	0.1078(15)	0.6112(15)	0.2758(11)	0.092
O2a	0.5043(11)	0.5795(12)	0.0453(8)	0.126	O2d	0.1126(11)	0.6154(11)	0.3134(8)	0.128
C3a	0.5251(14)	0.4217(14)	0.0765(9)	0.071	C3d	0.173(2)	0.5804(18)	0.2226(12)	0.133
O3a	0.5720(10)	0.3979(10)	0.0744(7)	0.103	O3d	0.2290(13)	0.5640(13)	0.2297(9)	0.154
B1a	0.3621(15)	0.4871(15)	0.1136(10)	0.047	B1d	0.0109(15)	0.5238(16)	0.2162(11)	0.055
P2a	0.4084(3)	0.4061(3)	0.1277(2)	0.040	P2d	-0.0163(3)	0.6122(4)	0.1974(2)	0.048
B3a	0.4884(13)	0.4350(14)	0.1638(9)	0.033	B3d	0.0118(14)	0.6147(15)	0.1440(10)	0.045
C4a	0.4874(12)	0.5044(12)	0.1472(8)	0.051	C4d	0.0634(12)	0.5625(13)	0.1545(8)	0.054
C5a	0.4221(12)	0.5311(12)	0.1223(8)	0.056	C5d	0.0614(12)	0.5166(12)	0.1896(9)	0.060
N1a	0.2968(10)	0.5005(10)	0.0967(6)	0.048	N1d	-0.0038(11)	0.4865(11)	0.2482(7)	0.071
C6a	0.2717(13)	0.5670(14)	0.0772(9)	0.070	C6d	-0.0586(12)	0.5060(13)	0.2693(9)	0.055
C7a	0.3007(13)	0.5865(13)	0.0396(9)	0.079	C7d	-0.0274(14)	0.5241(15)	0.3203(10)	0.099
C8a	0.2852(15)	0.6130(15)	0.1197(11)	0.104	C8d	-0.1063(14)	0.4498(15)	0.2668(10)	0.094
C9a	0.2420(13)	0.4486(13)	0.0883(10)	0.073	C9d	0.0323(14)	0.4249(15)	0.2659(11)	0.082
C10a	0.2141(14)	0.4331(14)	0.0420(10)	0.087	C10d	0.0247(14)	0.3813(15)	0.2275(10)	0.096
C11a	0.1885(13)	0.4753(13)	0.1119(9)	0.078	C11d	0.1048(13)	0.4447(13)	0.2892(9)	0.078
N2a	0.5403(10)	0.4034(10)	0.1939(6)	0.044	N2d	-0.0060(10)	0.6561(11)	0.1065(7)	0.053
C12a	0.5379(13)	0.3336(14)	0.2009(9)	0.066	C12d	0.0225(14)	0.6491(15)	0.0658(10)	0.080
C13a	0.5480(16)	0.3134(17)	0.2495(12)	0.118	C13d	0.0082(13)	0.5811(14)	0.0470(9)	0.085
C14a	0.5872(16)	0.2992(16)	0.1818(11)	0.108	C14d	0.0964(13)	0.6601(13)	0.0818(9)	0.067
C15a	0.6040(15)	0.4338(15)	0.2190(11)	0.093	C15d	-0.0498(13)	0.7124(13)	0.1061(9)	0.062
C16a	0.5942(17)	0.4830(17)	0.2514(12)	0.125	C16d	-0.1035(16)	0.7143(16)	0.0617(11)	0.110
C17a	0.6454(18)	0.4489(17)	0.1879(12)	0.133	C17d	-0.0103(15)	0.7749(16)	0.1096(11)	0.110
Fe2	0.78133(19)	0.25171(2)	0.11160(14)	0.061	Fe5	0.6175(2)	0.5152(3)	0.45407(15)	0.097
C1b	0.7206(16)	0.2054(16)	0.1272(11)	0.103	C1e	0.5602(16)	0.4703(16)	0.4701(11)	0.103
O1b	0.6820(11)	0.1792(11)	0.1406(7)	0.103	O1e	0.5257(9)	0.4358(10)	0.4862(6)	0.089
C2b	0.7657(14)	0.2308(15)	0.0549(11)	0.090	C2e	0.597(3)	0.507(3)	0.396(2)	0.201
O2b	0.7574(10)	0.2248(11)	0.0181(8)	0.118	O2e	0.5808(16)	0.4897(16)	0.3570(12)	0.202
C3b	0.7328(18)	0.3243(19)	0.0984(12)	0.127	C3e	0.566(2)	0.580(2)	0.4476(13)	0.137
O3b	0.7075(14)	0.3701(15)	0.0912(10)	0.172	O3e	0.5430(12)	0.6296(14)	0.4469(9)	0.144
B1b	0.8998(15)	0.2668(15)	0.1146(11)	0.056	B1e	0.6975(14)	0.4820(16)	0.5271(10)	0.051
P2b	0.8754(3)	0.1890(3)	0.1349(2)	0.040	P2e	0.7126(4)	0.4515(5)	0.4726(2)	0.077
B3b	0.8552(13)	0.2209(15)	0.1879(11)	0.036	B3e	0.7318(18)	0.5315(19)	0.4502(13)	0.088
C4b	0.8392(12)	0.2894(13)	0.1725(8)	0.057	C4e	0.6995(16)	0.5738(16)	0.4758(11)	0.107
C5b	0.8609(11)	0.3145(12)	0.1371(8)	0.045	C5e	0.6807(13)	0.5492(14)	0.5168(10)	0.081
N1b	0.9348(9)	0.2827(10)	0.0816(7)	0.053	N1e	0.6891(10)	0.4444(11)	0.5636(7)	0.062
C6b	0.9700(11)	0.2329(12)	0.0634(8)	0.050	C6e	0.6941(14)	0.3761(15)	0.5655(10)	0.080
C7b	0.9324(12)	0.2129(12)	0.0168(8)	0.059	C7e	0.6261(16)	0.3424(16)	0.5677(11)	0.111
C8b	1.0407(13)	0.2545(13)	0.0655(9)	0.073	C8e	0.7478(16)	0.3518(16)	0.6050(11)	0.106
C9b	0.9331(14)	0.3500(14)	0.0615(9)	0.073	C9e	0.6752(15)	0.4759(15)	0.6064(10)	0.088
C10b	0.9772(14)	0.3974(14)	0.0983(10)	0.089	C10e	0.6083(15)	0.5074(15)	0.5944(11)	0.093
C11b	0.8661(12)	0.3707(12)	0.0387(8)	0.059	C11e	0.7336(16)	0.5210(16)	0.6270(11)	0.105
N2b	0.8492(9)	0.1862(11)	0.2265(7)	0.059	N2e	0.7665(13)	0.5456(15)	0.4153(9)	0.109
C12b	0.8580(14)	0.1134(15)	0.2310(10)	0.082	C12e	0.7685(17)	0.6115(19)	0.3994(12)	0.107
C13b	0.9086(15)	0.0994(14)	0.2752(10)	0.092	C13e	0.8026(18)	0.6554(18)	0.4285(13)	0.138
C14b	0.7907(18)	0.0880(17)	0.2260(12)	0.130	C14e	0.6922(19)	0.6294(18)	0.3709(13)	0.150
C15b	0.8302(15)	0.2204(15)	0.2643(10)	0.088	C15e	0.7979(18)	0.4920(18)	0.3975(12)	0.117
C16b	0.8811(16)	0.2682(16)	0.2840(11)	0.110	C16e	0.8708(18)	0.5148(17)	0.4018(12)	0.127
C17b	0.2587(16)	0.2567(16)	0.2485(11)	0.114	C17e	0.7613(19)	0.4753(19)	0.3500(14)	0.156
Fe3	-0.16315(19)	0.6828(2)	0.25594(13)	0.057	Fe6	0.7948(2)	0.2952(3)	0.41837(15)	0.109
C1c	-0.1038(16)	0.6831(16)	0.3059(11)	0.091	C1f	0.866(2)	0.3288(19)	0.4169(12)	0.130
O1c	-0.0633(11)	0.6798(11)	0.3401(8)	0.126	O1f	0.9126(13)	0.3623(13)	0.4162(9)	0.151
C2c	-0.2172(14)	0.7176(14)	0.2820(10)	0.084	C2f	0.826(2)	0.229(2)	0.3976(16)	0.176
O2c	-0.2550(10)	0.7453(10)	0.2948(7)	0.110	O2f	0.8383(13)	0.1817(15)	0.3839(9)	0.170
C3c	-0.2013(16)	0.6062(17)	0.2526(11)	0.098	C3f	0.733(2)	0.304(2)	0.3673(15)	0.143
O3c	-0.2261(10)	0.5586(11)	0.2528(7)	0.099	O3f	0.7013(14)	0.3348(14)	0.3356(10)	0.176
B1c	-0.1809(15)	0.6653(16)	0.1717(11)	0.052	B1f	0.692(2)	0.2765(19)	0.4472(13)	0.110
P2c	-0.0920(3)	0.6724(3)	0.2088(2)	0.043	P2f	0.7435(4)	0.3562(5)	0.4632(2)	0.082
B3c	-0.0924(15)	0.7623(15)	0.2249(10)	0.048	B3f	0.8259(16)	0.3186(18)	0.4996(11)	0.059
C4c	-0.1689(12)	0.7694(12)	0.2174(8)	0.051	C4f	0.8206(13)	0.2561(14)	0.4831(9)	0.069
C5c	-0.2121(11)	0.7227(12)	0.1918(8)	0.043	C5f	0.7542(13)	0.2298(13)	0.4574(9)	0.065
N1c	-0.2100(9)	0.6192(10)	0.1403(7)	0.049	N1f	0.6264(14)	0.2640(14)	0.4294(9)	0.108
C6c	-0.1704(12)	0.5595(14)	0.1368(9)	0.067	C6f	0.5799(16)	0.3170(16)	0.4253(11)	0.097
C7c	-0.1772(14)	0.5558(15)	0.0829(10)	0.100	C7f	0.5220(15)	0.2991(15)	0.4450(11)	0.148
C8c	-0.2022(16)	0.5029(16)	0.1499(11)	0.106	C8f	0.5489(18)	0.3352(18)	0.3755(13)	0.204
C9c	-0.2791(13)	0.6193(13)	0.1133(9)	0.064	C9f	0.6045(18)	0.195(2)	0.4149(13)	0.131
C10c	-0.3284(14)	0.6164(15)	0.1453(10)	0.099	C10f	0.6097(18)	0.1534(19)	0.4507(13)	0.141
C11c	-0.2937(14)	0.6891(15)	0.0877(10)	0.089	C11f	0.628(2)	0.188(2)	0.3677(15)	0.179
N2c	-0.0421(10)	0.8010(11)	0.2468(6)	0.055	N2f	0.8759(11)	0.3604(13)	0.5288(8)	0.079
C12c	-0.0498(14)	0.8672(15)	0.2693(10)	0.092	C12f	0.8801(14)	0.4237(16)	0.5321(10)	0.080
C13c	-0.0912(13)	0.9105(13)	0.2333(9)	0.071	C13f	0.8779(16)	0.4501(16)	0.5764(11)	0.116
C14c	-0.0793(13)	0.8515(13)	0.3082(9)	0.072	C14f	0.9422(16)	0.4548(16)	0.5185(11)	0.123
C15c	0.0308(14)	0.7835(15)	0.2485(10)	0.092	C15f	0.9364(15)	0.3219(15)	0.5579(11)	0.086
C16c	0.0666(13)	0.7665(13)	0.2984(9)	0.078	C16f	0.9124(13)	0.2704(13)	0.5874(9)	0.080
C17c	0.0630(13)	0.8409(14)	0.2300(9)	0.077	C17f	0.9785(14)	0.2885(15)	0.5303(10)	0.093

Tab. 6. Gemittelte Abstände [Å] und Winkel [°] für **5b**

	Mittelwert	Bereich	esd
Fe - C1(2,3)	1.76	1.66 - 1.83	5
Fe - B1(3)	2.55	2.49 - 2.61	4
Fe - P2	2.37	2.35 - 2.39	1
Fe - C4(5)	2.14	2.10 - 2.18	4
P2 - B1(3)	1.94	1.88 - 2.00	4
P2 - P2'	2.16	2.15 - 2.16	2
B1(3) - C5(4)	1.54	1.47 - 1.61	5
C4 - C5	1.48	1.41 - 1.53	5
C5(4) - B1(3) - P2	99.0	97.3 - 102.6	25
B1 - P2 - B3	98.5	97.4 - 100.0	15
P2' - P2 - B1(3)	131.6	130.5 - 132.4	12
	122.8	120.6 - 124.4	10
B1(3)-C5(4)-C4(5)	118.3	113.8 - 120.5	25

PH₃-Entwicklung beendet, dann wird LiCl abfiltriert und die Lösung bis auf 20 ml eingeengt. Das ausgefallene Rohprodukt wird aus Pentan (-30°C) umkristallisiert: 8.29 g (29.6 mmol, 90%) **1b**, Schmp. 111–112 °C. – ¹H-NMR (200 MHz, C₆D₆): δ = 1.06 (d, 12, $J_{\text{HH}} = 6.7 \text{ Hz}$), 1.16 (d, 12, $J_{\text{HH}} = 6.7 \text{ Hz}$), 1.96 (d, $J_{\text{PH}} = 203.4 \text{ Hz}$), 3.32 (sept, 2, $J_{\text{PH}} = 6.7 \text{ Hz}$), 3.95 (d, sept, 2, $J_{\text{PH}} = 2.2 \text{ Hz}$), 7.62 (d, 2, $J_{\text{PH}} = 5.0 \text{ Hz}$). – ¹³C-NMR (50 MHz, C₆D₆): δ = 22.29 (s, CH₃), 25.19 (s, CH₃), 46.99 (d, NCH, $^3J_{\text{PC}} = 2.5 \text{ Hz}$), 55.20 (d, NCH, $^3J_{\text{PC}} = 5.0 \text{ Hz}$), 158.5 (br, BC). – ¹¹B-NMR δ = 46.2 (s, $b_{1/2} = 281 \text{ Hz}$). – ³¹P-NMR δ = -212.6 (d, $J_{\text{PH}} = 203.5 \text{ Hz}$). – MS/EI: m/z (%) = 280 (51) [M⁺], 265 (21) [M⁺ - Me], 249 (16) [M⁺ - 2 Me + 1], 237 (100) [M⁺ - iPr], 43 (79) [iPr⁺].

C₁₄H₃₁B₂N₂P (279.6) Ber. C 60.08 H 11.07 N 10.01 P 11.07
Gef. C 59.65 H 11.10 N 9.88 P 10.09

2,5-Bis(diethylamino)-2,5-dihydro-1-(trimethylsilyl)-1H-1,2,5-phosphadiborol (1c): Bei 0 °C werden zu 2.63 g (10 mmol) [HCB(Cl)N₂Et₂]₂ in 30 ml Pentan 6.56 g (20 mmol) LiP(SiMe₃)₂·THF in 10 ml THF gegeben. Anschließend wird die Lösung 2 h bei 0 °C, danach 5 h bei 20 °C gerührt. Dann wird LiCl abfiltriert (1.66 g, quantitativ), das Lösungsmittel i.Vak. entfernt und der Rückstand fraktioniert: Sdp. 30–35 °C/10⁻³ Torr, Ausb. 2.4 g P(SiMe₃)₃ (0.6 mmol, 96%); 82 °C/10⁻³ Torr, Ausb. 2.45 g (8.3 mmol, 83%) farbloses, öliges **1c**. – ¹H-NMR (200 MHz, C₆D₆): δ = 0.98 (d, 9, $^3J_{\text{PH}} = 3.4 \text{ Hz}$), 1.26 (2 t, 12, $J_{\text{HH}} = 7.0 \text{ Hz}$), 3.55 (q, 4), 3.75 (dq, 4, $^4J_{\text{PH}}$ ca. 2 Hz), 7.5 (d, 2, $J_{\text{PH}} = 3.6 \text{ Hz}$). – ¹³C-NMR (50 MHz, C₆D₆): δ = 7.61 (d, SiCH₃, $^2J_{\text{PC}} = 3.8 \text{ Hz}$), 19.76 (s, CCH₃), 21.34 (s, CCH₃), 46.38 (d, NCH₂, $^3J_{\text{PC}} = 16.4 \text{ Hz}$), 161 (br, BC). – ¹¹B-NMR δ = 48.7 (s, $b_{1/2} = 253 \text{ Hz}$). – ³¹P{¹H}-NMR: δ = -254.1 (s, $b_{1/2} = 85 \text{ Hz}$). – ²⁹Si-NMR (17.75 MHz): δ = -10.31 (br). – MS/EI: m/z (%) = 296 (100) [M⁺], 281 (10) [M⁺ - Me], 267 (55) [M⁺ - Et], 73 (52) [SiMe₃⁺].

C₁₃H₃₁B₂N₂PSi (295.6) Ber. C 52.70 H 10.47 N 9.46 P 10.47
Gef. C 51.85 H 10.66 N 9.22 P 10.22

2,5-Bis(diisopropylamino)-2,5-dihydro-1-(trimethylsilyl)-1H-1,2,5-phosphadiborol (1d): Aus 3.2 g (10.03 mmol) [HCB(Cl)NiPr₂]₂ und 6.57 (20.06 mmol) LiP(SiMe₃)₂·THF werden analog **1c** 2.5 g (10 mmol, 100%) P(SiMe₃)₃ und 3.08 g (8.75 mmol, 87.5%) **1d** erhalten, Schmp. 92–93% (aus Pentan, 0 °C). – ¹H-NMR (200 MHz, C₆D₆): δ = 1.03 (d, 9, $^3J_{\text{PH}} = 3.4 \text{ Hz}$), 1.65 (d, 12, $J_{\text{HH}} = 7 \text{ Hz}$), 1.82 (d, 12), 3.58 (d sept, 2, $^4J_{\text{PH}} = 2.2 \text{ Hz}$), 4.78 (sept, 2), 7.61 (d, 2, $^3J_{\text{PH}} = 4.3 \text{ Hz}$). – ¹³C-NMR (50 MHz, C₆D₆): δ = 7.51 (d, SiCH₃, $^2J_{\text{PC}} = 5.5 \text{ Hz}$), 22.26 (s, CCH₃), 25.95 (s, CCH₃), 46.08 (s, NCH), 57.1 (d, NCH, $^3J_{\text{PC}} = 17.6 \text{ Hz}$), 159 (br, BC). – ¹¹B-NMR (C₆D₆): δ = 47.4 (s, $b_{1/2} = 338 \text{ Hz}$). – ³¹P{¹H}-NMR (C₆D₆): δ = -241 ($b_{1/2} = 85 \text{ Hz}$). – ²⁹Si-NMR (17.75 MHz): δ = -10.0 (br). – MS/

M. Drieß, P. Frankhauser, H. Pritzkow, W. Siebert

EI: m/z (%) = 352 (30) [M⁺], 309 (96) [M⁺ - iPr], 237 (100) [M⁺ - NiPr₂ - Me], 73 (38) [Me₃Si⁺], 43 (89) [iPr⁺].

C₁₇H₃₉B₂N₂PSi (351.7) Ber. C 57.95 H 11.07 N 7.95 P 8.80
Gef. C 57.20 H 11.07 N 7.66 P 8.62

2,2',5,5'-Tetrakis(diethylamino)-2,2',5,5'-tetrahydro-1,1'-bi(1H-1,2,5-phosphadiborol) (2a) und 2,2',5,5'-Tetrakis(diisopropylamino)-2,2',5,5'-tetrahydro-1,1'-bi(1H-1,2,5-phosphadiborol) (2b): Die in wenig Toluol gelösten Komponenten **1a** (1.42, 6.36 mmol) und (Me₃C)₂Hg (1.00 g, 3.18 mmol) bzw. **1b** (1.00 g, 3.56 mmol) und (Me₃C)₂Hg (0.56 g, 1.78 mmol) werden in 10 ml Toluol zusammengegeben, wobei unter Wärmeentwicklung eine braune Suspension entsteht. Anschließend wird zum Sieden erhitzt, so daß sich nach ca. 2 h Quecksilber in Form kleiner Kugelchen abscheidet. Die nun intensiv gelbe, klare Lösung wird in der Hitze vom Hg dekantiert. **2a:** Nach Abkühlen wird Toluol i.Vak. entfernt und der ölige Rückstand bei 148–150 °C/10⁻³ Torr destilliert: 0.80 g (1.79 mmol, 56%) hellgelbes Öl. – ¹H-NMR (90 MHz, CDCl₃): δ = 1.47 (t, 12, CH₂CH₃), 1.79 (t, 12, CH₂CH₃, $J_{\text{HH}} = 7.1 \text{ Hz}$), 3.47 (q, 8, CH₂CH₃), 3.86 (q, 8, CH₂CH₃), 7.31 (t, 4H, CH, $^3J_{\text{PH}} + ^4J_{\text{PH}} = 5.9 \text{ Hz}$). – ¹¹B-NMR (CDCl₃): δ = 46.5 ($b_{1/2} = 479 \text{ Hz}$). – ¹³C-NMR (50 MHz, CDCl₃): δ = 21.65 (s, CH₃), 25.31 (s, CH₃), 46.81 (s, NC), 52.33 (t, NC, $^3J_{\text{PC}} + ^4J_{\text{PC}} = 20.7 \text{ Hz}$), 159 (br, BC). – ³¹P-NMR (CDCl₃): δ = -205.2 ($b_{1/2} = 85 \text{ Hz}$).

2b: Durch Abkühlung der Toluol-Lösung auf 0 °C kristallisiert. **2b** nahezu quantitativ aus (990 mg, 1.77 mmol, 99%), Schmp. 289 °C (Zers.). Adsorbiertes Hg wird i.Vak. (10⁻³ Torr) bei 80 °C vollständig entfernt. – ¹H-NMR (90 MHz, CDCl₃): δ = 1.13 (d, 24, HCCH₃), 1.38 (d, 24, HCCH₃, $J_{\text{HH}} = 6.8 \text{ Hz}$), 3.38 [sept, 4, HC(CH₃)₂], 4.41 (t, sept, 4, $J_{\text{HH}} = 6.8, ^4J_{\text{PH}} + ^5J_{\text{PH}} = 4.4 \text{ Hz}$), 7.40 (t, 4H, CH, $^3J_{\text{PH}} + ^4J_{\text{PH}} = 7.6$). – ¹¹B-NMR (CDCl₃): δ = 48.9 ($b_{1/2} = 476 \text{ Hz}$). – ¹³C-NMR (CDCl₃): δ = 22.15 (s, CH₃), 26.03 (s, CH₃), 45.48 (s, NC), 55.00 (t, NC, $^3J_{\text{PC}} + ^4J_{\text{PC}} = 27.3 \text{ Hz}$), 159 (br, BC). – ³¹P-NMR (CDCl₃): δ = -195.7 ($b_{1/2} = 88 \text{ Hz}$).

C₂₈H₆₀B₄N₄P₂ (557.4) Ber. C 60.28 H 10.84 N 10.04 P 11.11
Gef. C 60.20 H 10.76 N 10.10 P 11.11

Darstellung von **2a**, **2b** aus **1c**, **1d**

2a: Längeres Erhitzen von **1c** (185 mg, 0.6 mmol) und TiCl₄ (150 mg, 0.62 mmol) ohne Lösungsmittel bei ca. 160 °C (Ölbadtemp.) führt zur allmählichen Bildung von elementarem Thallium. Nach 12 h liegen (³¹P-NMR-Kontrolle) ca. 90% **2a** (δ = -204.8) und ca. 5–10% **1c** vor. Durch fraktionierende Kondensation erhält man **2a** als hellgelbes Öl; Ausb. 68 mg (0.15 mmol, 51%).

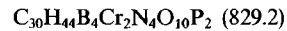
2a durch Umsetzung von **1c mit C₂Cl₆:** Zur Lösung von **1c** (592 mg, 2.0 mmol) in 10 ml Pentan gibt man bei -50 °C langsam eine Lösung von C₂Cl₆ (237 mg, 1.0 mmol) in 5 ml CH₂Cl₂. Anschließend wird auf 0 °C erwärmt und noch 2 h bei dieser Temp. gerührt. Nach Entfernen aller leichtflüchtigen Bestandteile i.Vak. wird vom Rohprodukt ein ³¹P- und ¹¹B-NMR-Spektrum aufgenommen: ³¹P{¹H} (CDCl₃): Signale geringer Intensität zwischen δ = -270 und -290. Intensivstes Signal bei δ = -205.1 (**2a**). – ¹¹B-NMR: δ = 48.1; 34.0 (ca. 1:1). Nach fraktionierender Destillation wird **2a** mit 22% Ausb. (98 mg, 0.28 mmol) isoliert.

2b: Durch Umsetzung von **1d** mit C₂Cl₆ wird **2b** analog der Darstellung von **2a** mit 28% Ausb. erhalten.

Decacarbonyl-μ-[2,2',5,5'-tetrakis(diethylamino)-2,2',5,5'-tetrahydro-1,1'-bi(1H-1,2,5-phosphadiborol)-P,P'] dichrom (4a): Zu einer Suspension von Cr(CO)₆(CH₃CN)₃ (1.71 g, 3.43 mmol) in 50 ml Methylcyclohexan wird **2a** (700 mg, 1.56 mmol) gegeben und 2 h bei 80 °C erhitzt. Hierbei entsteht eine trübe gelbbraune Lösung. Es wird über eine G4-Fritte abfiltriert, das Solvens i.Vak. (10⁻²

2,2',5,5'-Tetrahydro-1,1'-bi(1*H*-1,2,5-phosphadiborol)-Derivate

Torr) entfernt und der Rückstand in 20 ml Pentan aufgenommen. Erneutes Abfiltrieren und anschließendes Kristallisieren bei -30°C ergibt orangefarbene Kristalle von **4a**, die nochmals aus Toluol (-30°C) umkristallisiert werden: 253 mg (0.30 mmol, 19.5%), Schmp. 157°C (Zers.). — $^1\text{H-NMR}$ (200 MHz, C_6D_6): $\delta = 0.92$ (t, 12H, $J_{\text{HH}} = 6.8$ Hz), 1.10 (t, 12H, $J_{\text{HH}} = 6.8$ Hz), 3.07 (q, 8H, $J_{\text{HH}} = 6.8$ Hz), 3.20 bis 3.66 (br, 8H), 6.99 (t, 4H, $J_{\text{PH}} = 13.5$ Hz). — $^{13}\text{C}\{^1\text{H}\}$ -NMR (50 MHz, C_6D_6): $\delta = 14.59$ (s, CH_3), 17.33 (s, CH_3), 43.31 (s, NCH_2), 51.50 (br, NCH_2), 155 (br, BC), 217.66 (t, CO, $^{2}J_{\text{PC}} + ^3J_{\text{PC}} = 7$ Hz). — $^{11}\text{B-NMR}$ $\delta = 45.9$ (br, $b_{1/2}$ ca. 0.85 kHz). — $^{31}\text{P}\{^1\text{H}\}$ -NMR (36 MHz, C_6D_6): $\delta = -162.7$ (s, $b_{1/2} = 85$ Hz). — IR [$\nu(\text{CO})$, Pentan]: 2059 (m), 1977 (vs), 1937 (w) cm^{-1} . — MS (EI): m/z (%) = 638 (8) [(M — Cr(CO)₅)⁺], 610 (6) [(M — Cr(CO)₆)⁺], 498 (100) [(M — Cr(CO)₅ — 5CO)⁺], 446 (35) [(M — 2 Cr(CO)₅)⁺], 223 (22) [(M — 2 Cr(CO)₅/2)⁺], 52 (44) [Cr⁺], 28 (100) [CO⁺].



Ber. C 43.41 H 5.31 N 6.75 P 7.47
Gef. C 43.78 H 5.52 N 6.99 P 7.80

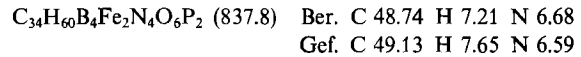
*Hexacarbonyl-μ-[2,2',5,5'-tetrakis(diisopropylamino)-2,2',5,5'-tetrahydro-η⁵:η⁵-1,1'-bi(1*H*-1,2,5-phosphadiborol)]dieisen (5b):* Die

Tab. 7. Einzelheiten zu den Röntgenstrukturanalysen von **2b**, **4a**, **5b**

	2b	4a	5b
Formel	$\text{C}_{28}\text{H}_{50}\text{B}_4\text{N}_4\text{P}_2$	$\text{C}_{30}\text{H}_{44}\text{B}_4\text{Cr}_2\text{N}_4\text{O}_{10}\text{P}_2$	$\text{C}_{34}\text{H}_{60}\text{B}_4\text{Fe}_2\text{N}_4\text{O}_6\text{P}_2$
Molmasse	558.0	829.9	837.8
Kristallsystem	rhombisch	monoklin	monoklin
Raumgruppe	<i>Pcn</i> b	<i>P2</i> ₁ / <i>n</i>	<i>P2</i> ₁ / <i>a</i>
Zellparameter [Å] und [°]	<i>a</i> 11.415(4) <i>b</i> 15.476(6) <i>c</i> 20.576(9) β	10.812(2) 21.386(5) 18.377(4) 100.06(2)	21.30(2) 21.09(2) 31.13(2) 105.51(7)
Zellvolumen [Å ³]	3635	4148	13473
<i>Z</i>	4	4	12
<i>d</i> _{ber} [g cm ⁻³]	1.02	1.32	1.24
$\mu(\text{Mo}-K_{\alpha})$ [cm ⁻¹]	1.09	6.0	7.1
$2\Theta_{\max}$ [°]	50.0	50.0	40.0
Diffraktometer	Vierkreis	Zweikreis	Vierkreis
Strahlung	Mo- <i>K</i> _α	Mo- <i>K</i> _α	Mo- <i>K</i> _α
Scan	ω	ω	ω
Reflexe			
gemessen	3622	7305	13059
beobachtet	1751 (<i>I</i> > 2 σ)	5476 (<i>I</i> > σ)	5416 (<i>I</i> > 2 σ)
Verfeinerung			
anisotrop	P,N,C,B	Cr,P,O,N,C,B	Fe,P
isotrop	H ^{a)}	H ^{a)}	O,N,C,B
Zahl der Parameter	221	527	685
<i>R</i>	0.038	0.067	0.123
<i>R</i> _w	0.046	0.059	0.136
Restelektronendichte [e Å ⁻³]	0.2	0.5	0.9

^{a)} Die H-Atome am Ring wurden in gefundenen Lagen isotrop verfeinert, die restlichen in berechneten Lagen bzw. bei CH₃-Gruppen als Teil einer starren Gruppe.

Umsetzung von **2b** (498 mg, 79 mmol) mit (CO)₃Fe(C₈H₁₄)₂ (640 mg, 1.78 mmol) erfolgt bei -20°C in 50 ml Toluol, anschließend wird ca. 12 h bei Raumtemp. gerührt. Nach Entfernen des Solvens i.Vak. (10^{-2} Torr) wird das Rohprodukt über Al₂O₃ (5% H₂O) gereinigt. Mit Toluol als Eluens erhält man **5b** als rote Fraktion, nach Einengen rote Kristalle, Ausb. 270 mg (0.32 mmol, 36%), Schmp. 213°C (Zers.). — $^1\text{H-NMR}$ (200 MHz, C_6D_6): $\delta = 0.95$ (d, 6H, $J_{\text{HH}} = 6.4$ Hz), 1.11 (d, 6H, $J_{\text{HH}} = 7.0$ Hz), 1.25 (br, s, 24H), 1.36 (br, s, 12H), 2.9—4.1 (m, 12H). — $^{13}\text{C}\{^1\text{H}\}$ -NMR (50 MHz, C_6D_6): $\delta = 21.96, 22.3, 22.75, 23.21, 24.29, 26.12$ (jeweils s, NCC₃), 45.09, 45.40, 53.68, 54.99 (jeweils s, NC), 62 (br, BC), 214.03 (s, CO). — $^{11}\text{B-NMR}$ (28 MHz, C_6D_6): $\delta = 30.8$ (s, $b_{1/2} = 860$ Hz). — $^{31}\text{P-NMR}$ (81 MHz, C_6D_6): $\delta = -111.8$ (s, $b_{1/2} = 130$ Hz). — MS (EI): m/z (%) = 838 (7) [M⁺], 754 (2) [(M — 3 CO)⁺], 726 (10) [(M — 4 CO)⁺], 670 (100) [(M — 6 CO)⁺], 614 (30) [(M — 6 CO — Fe)⁺], 363 (3) [(M/2 — 2 CO)⁺], 335 (34) [M/2 — 3 CO]⁺], 279 (6) [(M/2 — Fe(CO)₃)⁺]. — IR [$\nu(\text{CO})$] (*n*-Hexan): 2031.5, 2022.5, 1961.0, 1951.5 cm^{-1} .



*Röntgenstrukturanalysen*¹⁰⁾: Kristalldaten und Einzelheiten zu den Strukturbestimmungen sind in Tab. 7 zusammengefaßt. Wegen der schlechten Kristallqualität von **5b** konnten nur relativ wenige Reflexe gemessen werden. Daher ist die Strukturbestimmung ungenau. Die drei unabhängigen Moleküle stimmen innerhalb der Meßgenauigkeit überein. Alle Rechnungen wurden mit den Programmen SHELX 76 und SHELXS 86¹¹⁾ durchgeführt.

¹⁾ Übersicht: W. Siebert, *Adv. Organomet. Chem.* **18** (1980) 301; G. E. Herberich, *Compr. Organomet. Chem.* **1** (1982) 381; W. Haubold, A. Gemmler, *Chem. Ber.* **113** (1980) 3352.

²⁾ W. Siebert, *Pure Appl. Chem.* **59** (1987) 947.

³⁾ ^{a)} M. Drieß, H. Pritzkow, W. Siebert, *Angew. Chem.* **99** (1987) 789; *Angew. Chem. Int. Ed. Engl.* **26** (1987) 781. — ^{b)} M. Drieß, *Dissertation*, Universität Heidelberg, 1988.

⁴⁾ M. Drieß, H. Pritzkow, W. Siebert, *Chem. Ber.* **122** (1989) 467.

⁵⁾ ^{a)} R. Appel, K. Geisler, H. Schöler, *Chem. Ber.* **110** (1977) 367. — ^{b)} E. A. Abel, R. A. McLean, T. H. Sabherwal, *J. Chem. Soc. A* **1986**, 2371.

⁶⁾ D. E. C. Corbridge in *The Structural Chemistry of Phosphorus*, Elsevier, Amsterdam 1974.

⁷⁾ M. Feher, R. Fröhlich, K. F. Tebbe, *Z. Anorg. Allg. Chem.* **474** (1981) 31.

⁸⁾ G. Huttner, R. Friedrich, H. Willenberg, H. D. Müller, *Angew. Chem.* **89** (1977) 268; *Angew. Chem. Int. Ed. Engl.* **16** (1977) 260.

⁹⁾ M. Drieß, P. Frankhauser, H. Pritzkow, W. Siebert, Publikation in Vorbereitung.

¹⁰⁾ Weitere Einzelheiten zu den Kristallstrukturuntersuchungen können beim Fachinformationszentrum Karlsruhe, Gesellschaft für wissenschaftlich-technische Information mbH, D-7514 Eggenstein-Leopoldshafen 2, unter Angabe der Hinterlegungsnummer CSD-55184, der Autoren und des Zeitschriftenzitats angefordert werden.

¹¹⁾ G. M. Sheldrick, SHELX 76, *A Program for Crystal Structure Determination*, Cambridge 1976; SHELXS 86, Göttingen 1986.